第13卷 第2期 1993年6月 生态学报 ACTA ECOLOGICA SINICA 5/-/{ al 10 Na 0

Vol. 13, No. 2 Jun., 1 9 9 3

松突圆蚧(Hemiberlesia pitysophila Takagi)寄生蜂Aphytis sp.的寄生与摄食研究

张学武 古德祥

續 要 本文观察了Aphytis sp. 在25种密度组合下的寄生与摄食,表明 Aphytis sp. 的功能反应适合 I型曲线,摄食作用随寄生蜂密度的增加而加强,随寄主密度的增加而减弱。 并建立了新的二元寄生模型,模拟效果较好。

*** 对能反应, *生, 摄食, 模型。 本年安国纸, 寄生蜂,

Aphytis sp.以产卵和摄食host-feeding 两种行为方式攻击寄主。摄食就是寄生物从寄主体内吸取血液淋巴,被摄食的地方可看到黑点,3—5d之后,寄主逐渐干瘪萎缩,变成"葡萄干"状,寄主被杀死。当摄食和产卵同时发生时,卵也连同寄主一起几天内死亡,成为无效的寄生卵。

1 材料与方法

寄生物种采用羽化后 24h 已交配的雌蜂。寄主采用 28℃ 下发育的茶长本圆蚧。实验容器使用 7cm×12cm 的圆柱形玻璃瓶,内置含 80%蜜糖水的棉花球,瓶口封以黑棉布。整个实验在温度为28℃、RH 为 75%、光照为12h的恒温箱内进行。

寄生蜂密度设为1、3、5、7、9等5个处理,寄主密度设为5、10、20、40、80等5个处理,将寄生蜂与寄主的各密度处理两两组合,共25种组合。寄生蜂产卵24h后,移出玻璃瓶。2—3d以后,解剖寄主。分别统计寄生数与摄食数。每种组合重复5—10次。

2 结果分析

2.1 Aphytis sp. 的功能反应

1 头雌蜂在 5 种不同寄主密度下的寄生数如表 1 。用Holling-Ⅱ 圆盘方程:

$$N_{\bullet} = \frac{aTN}{1 + aT_{\bullet}N}$$

进行拟合,求出a=1.1018、 $T_1=0.0786$ 、均方拟合误差为0.1994,表明适合 II 型功能反应 曲线(图 1)。

本文于1901年10月15日收到,修改稿于1992年5月6日收到。

2.2 *Aphytis* **sp.的**摄食作用 设u表示摄食比,即:

u=摄食数/(寄生数+摄食数) 对于既寄生又摄食了的寄主,统计在摄食数 之内,因为这时的蚧虫3—5d内将死亡,寄 生物卵也不能完成发育,犹如没有产卵。根 据实验结果,计算出 *Aphytis* sp.在25种密 度组合下的摄食比(u)(见表 2)。

可见,摄食比(u) 随着寄生蜂密度的增加而增加,随着寄主密度的增加而减少。

2.3 Aphytis sp. 的二元寄生模型研究 25种密度组合的实验结果如表 3。

功能反应模型只反映了寄主密度 (N) 的变化对寄生数 (N) 的影响,没有考虑寄生蜂密度 (p) 的变化对寄生数的影响。一般说来,寄生数 Na 应是寄主密度 N 和寄生物密度 p 的函数。 $N_*=f(N,p)$ 下面就来建立一个这样的模型。

假设寄生蜂攻击寄主是随机的,随着寄 生蜂密度 p的增大,干扰将相应增大,寄生

表 2 Aphitis sp.的摄食比(u)

Table 2 Ratio of host-feeding for Aphytis sp.

寄生蜂密度	寄主密度 Density of host					
Density of parasite	5	10	20	40	80	
1	0.54	0.33	0.24	0.18	0.13	
3	0.61	0.45	0.42	0.38	0.34	
5	0.73	0.51	0.47	0.38	0,36	
. 7	0.86	0.66	0.52	0.46	0.41	
9	0.91	0.77	0.63	0.58	0.49	

表 1 Aphysis sp.的寄生效应(寄生物为1) Table 1 Results of parasitism for Aphytic sp. (one parasite)

考主密度 Density of host	5	10	20	40	80
寄生数 No. of parasitism	3_61	6.3 5	8.66	9.78	10.26
寄生率 Rate of parasitism(%)	72,2	63.5	43,3	24.5	12.8

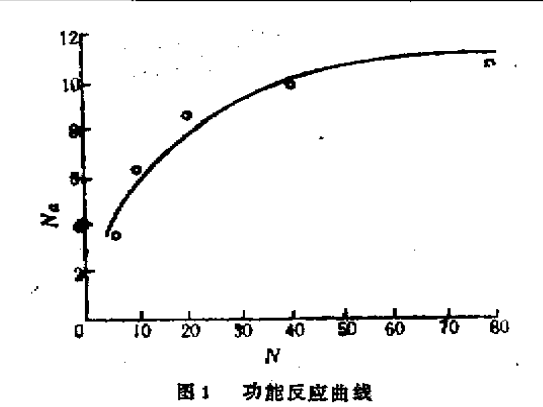


Fig.1 The functional response of Aphytis sp. Each open cycle is the experimental results. The curve is drawn by the value of modelling

表 3 Aphytis sp.的寄生数
Table 3 Results of parasitism for Aphytis sp.

寄生蜂密度	寄主密度 De			nsity of host		
Density of parasite	5	10	20	40	80	
1	3.61	6.35	8.66	9.78	10.26	
3	4.02	6.48	11.27	19.10	27.02	
6	4,34	7.21	11.69	19.37	29.30	
7	4,49	8.68	12,42	20.14	30.82	
9	4.78	8.86	18.75	23.39	39.02	

蜂的寻找效率a自然降低,处理寄主的时间也会相应缩短,一方面,这是相互干扰的缘故,另一方面,这也是寄生蜂的一种适应策略。每个寄生蜂都想实现最大产卵量,寄生尽可能多的寄主,寄生物密度的增长,使寄生蜂个体之间的竞争加剧,这种竞争压力迫使寄生蜂缩短对寄主的处理时间,争取在有限的寄主资源中,成为优胜的寄生者。

为便于实际应用,用线性关系来描述:

$$a(P) = a' + mP^{-1}$$
 $T_k(P) = T'_k + nP^{-1}$

当p=1时,a(p)取最大值a'+m,此时的寄 生 蜂没有干扰作用,寻找效率最高,当寄生蜂 密度p无限增长时 $(p\to\infty)$, $a(p)\to a'$,a' 为最低寻找效率, 也 就 是 说, 无论怎样增加密

度,怎样相互干扰、寄生蜂的寻找效率有一个下限。由m = (a' + m) - a' =最大值 - 最小值,表明m反映了寻找效率由于干扰作用而改变的幅度,称为寻找效率的干扰振幅。同样, T_{k} 是最少处理时间,表明竞争压力刺激寄生蜂缩短处理时间,但不能无限地缩短,总要花一段时间才能把一个寄主处理完, T_{k} 就是这个时间阈值。n 也反映了处理时间由于干扰作用而改变的幅度,称为处理时间的干扰振幅。

将这 2 个方程代入圆盘方程,就得到了一个新的关于寄生物密度 p、寄主密度 N的二元寄生模型。

$$N_{*} = \frac{(a' + mP^{-1})TN}{1 + (a' + mP^{-1})(T'_{*} + nP^{-1})N}$$

总实验时间T仍取为一个时间单位。

利用此模型和以前的有关模型对表 3 数据进行模拟,结果如表 4 。可见新模型的拟合效果较好。

表 4 寄生資型的報合結果 Table 4 Fitting results of models of parasitism

模 型	多数	分差分	参考文献	
Model Parameter		Error	Literature	
Hassell-Varley 1969 $N_1 = N(1 - \exp(-a P^{1-b}))$	2 = 0.4978 c = 0.8843	1,8969	(3)	
$N_{\star} = aP \exp(-bP^{1-\alpha}/N)$	a = 1.12956 $b = 6.3926$ $m = 0.1436$	1,6445	(1)	
Watt, 1959 $N_{\bullet} = PK(1 - \exp(-aNP^{1-b}))$	k = 14.9714 a = 0.0352 b = 1.8536	. 0.7907	.€43 ·	
Hassel-Rogers 1972 $N_{\bullet} = \frac{aTCP^{1-n}N}{1 + aT_{\bullet}N}$	$a = 0.7587$ $T_{h} = 0.0152$ $C = 0.6490$ $m = 0.7170$	0.5404	[2]	
$N_{4} = \frac{(a' + mp^{-1})TN}{1 + (a' + mp^{-1})(T_{k}' + nP^{-1})N}$	a' = 0.8718 $m = 0.1963$ $Tn' = 0.0061$ $n = 0.0708$	0.2876	本文	

其中Q= $\sqrt{\sum(N_d - \widehat{N}_a)^1}$ /n。

参考文献

- 〔1〕汪世泽,夏楚贵、Holling-夏型功能反应新模型、生态学杂志,1988,7(1):1-3
- (2) Hassell M P and Rogers D J. Insect parasite responses in the development of population models, J. Anim. Ecol. 1972, 41:661—676
- (3) Hassell M P and Varley G C. New inductive population model for insect parasite and its bearing on biological control. Nature 1989, 223:1133—1137
- [4] Watt K E F. A mathematical model for the effect of densities attacked and attacking species on the number attacked. Can. Ent. 1859, 91:175—188

STUDIES ON PARASITISM AND HOST-FEEDING OF APHYTIS SP., A PARASITOID OF HEMIBERLESIA PITYSOPHILA TAKAGI

Zhang Xue-Wu Gu De-Xiang
(Research Institute of Entomology, Zhongshan University, Guangzhou, 510275)
Zhou Zhi-Ming
(Department of Mathematics, Zhongshan University, Guangzhou)

This paper dealt with the effects of parasitism and host-feeding for Aphytis sp. in 25 combinations of density. It followed that the functional response of Aphytis sp. was fit for Holling-II curve. The host-feeding increased as the density of parasites increased, but decreased as the density of hosts increased. Furthermore, a new model for parasitism has been set up:

$$N_{\bullet} = \frac{(a' + mp^{-1})TN}{1 + (a' + mp^{-1})(T_{\bullet}^{2} + np^{-1})N}$$

Where a': the lowest searching rate, m: the interference oscillation of searching rate, T': the shortest handling time, n: the interference oscillation of handling time. The fitting results of the model was better than that of the Holling-I model and others.

Key words: functional respone, parasitism, host-feeding, modelling.